

石川島播磨重工(株) 技術資料請求書、発表基規

## 1. 緒言

鋼製品の焼入変形は、特に邊端部品のような場合、製造者にとってやつけるべき問題である。この変形は、焼入れの際の製品内部における温度変化と金属組織の変化によって生ずるものであるが、理論的にこの現象を解析することは、従来、困難であった。最近には、2. 有限要素法によらず弾塑性解析の方法が進歩するに至り、熱応力解析は比較的容易になった。著者はこの方法を焼入変形の解析に応用することを考へ、その第1歩として中空および中空内閣の焼入変形を解析した。ここでは、解析方法の概要と数例の結果を述べる。

## 2. 解析方法の概要

焼入れの際、鋼の物理量との関係は温度とともに変化し、また物体内部の弾塑性状態も変化するので、焼入れの過程を多くのステップに分割する。ステップごとに温度変化の計算と変位と応力の計算を行い、得た結果を累積する。温度変化の計算には、M. Marchal<sup>1)</sup>による差分法を用い、変位と応力の計算には有限要素法を用いた。いずれの計算の場合も、物体とメッシュまたは節点を結合された要素の集合体であるものと近似する(図1 参照)。

### 2.1 温度変化の計算

体積V、境界面積Sを持つ要素の熱平衡は(1)式で与えられる

$$\int_V (g - C \frac{dT}{dt}) dV + \int_S \lambda \frac{\partial T}{\partial n} \cdot ds = 0 \quad \dots \dots (1)$$

ここで； T：温度(°C), g：発熱量(cal/g), C：比熱(cal/g), λ：熱伝導率(cal/cm/sec/°C)

t：時間(sec), V：体積(cm<sup>3</sup>), S：面積(cm<sup>2</sup>), そしてn：距離(cm)

時間が短い場合は、メッシュを通じて要素iに流れ込む熱の平衡は(1)式から直接導くことより(2)式で近似することができます。

$$g_i - C_i \frac{dT}{dt} = \sum_S D_J \cdot (T_j - T_e) \quad \dots \dots (2)$$

ここで； C<sub>i</sub>：要素iの熱容量(cal) C<sub>i</sub> = c<sub>i</sub> × P × V, P：密度(g/cm<sup>3</sup>)

D<sub>J</sub>：(3)式で与えられる熱量流率(cal/sec/°C)

J：メッシュ番号, T<sub>e</sub>：要素iのメッシュJに隣接する要素の温度(°C)

$$D_J = \frac{S_J}{\lambda_i \cdot \frac{V_i}{S_J + S_J'} + \frac{1}{\lambda_i} \cdot \frac{V_i}{S_J + S_J''} + \frac{1}{\lambda_J}} \quad \dots \dots (3)$$

ここで； J：要素iのJの向いのメッシュ番号, J'：要素iのJの向いのメッシュ番号

l：メッシュJをはさんで要素iと隣接する要素の番号

$\lambda_J$ ：熱伝導率(cal/cm<sup>2</sup>/sec/°C). ただし要素lが固物質の場合は  $\lambda_{2J} = 0$  とする。

時間が  $\Delta t$  経過したときの要素iの温度変化  $\Delta T_i$  は(4)式で与えられる。

$$\Delta T_i = [g_i - \frac{1}{\Delta t} D_J (T_i - T_e)] \Delta t / C_i \quad \dots \dots (4)$$

'75-A 38

$\Delta t$  は次の選定条件にあることが必要である。

$$\Delta t \leq \min(C_i/w_i) \quad (i=1, 2, \dots, m)$$

$$w_i = \sum_j D_j$$

$m$ : 要素の数

(3) より (4) 式の計算を繰返し行うことにより、焼入中の物体の温度変化を求めることができる。

## 2.2 变位と応力の計算

有限要素法については多くの文献<sup>2)</sup>がありので説明を省略する。熱応力解析における応力-歪関係は藤田・野本<sup>3)</sup>による式を用いた。すなはち：

弾性状態での応力-歪関係

$$\begin{aligned} \dot{\sigma}_{ij} &= \frac{\nu}{(1+\nu)(1-2\nu)} E \dot{\epsilon}_{\mu\mu} \delta_{ij} + \frac{1}{1+\nu} E \dot{\epsilon}_{ij} \\ &\quad + \left\{ \frac{\nu}{(1+\nu)(1-2\nu)} E \dot{\epsilon}_{\mu\mu} \delta_{ij} + \frac{1}{1+\nu} \dot{\epsilon}_{ij} - \frac{1}{1-2\nu} \dot{\epsilon}_0 \right\} \quad \dots \dots (5) \end{aligned}$$

ここで；  $\dot{\sigma}_{ij}$ ：応力増分、  $\dot{\epsilon}_{ij}$ ：歪増分、  $\delta_{ij}$ ：クロネッカーデルタ、  $\dot{\epsilon}_0$ ：初期歪増分

$$\epsilon_{\mu\mu} = \epsilon_{xx} + \epsilon_{yy} + \epsilon_{zz}, \dot{\epsilon} : x\text{-}y\text{-}z\text{軸の歪増分}$$

塑性状態における応力-歪関係

$$\begin{aligned} \dot{\sigma}_{ij} &= \frac{E}{1+\nu} \dot{\epsilon}_{ij} + \frac{\nu E}{(1+\nu)(1-2\nu)} \dot{\epsilon}_{\mu\mu} \delta_{ij} + \frac{E}{1+\nu} \dot{\epsilon}_{ij}^e + \frac{\nu}{(1+\nu)(1-2\nu)} \dot{\epsilon} \epsilon_{\mu\mu} \delta_{ij} \\ &\quad - \frac{1}{1-2\nu} \cdot \dot{\epsilon}_0 - \frac{E}{1+\nu} S_{ij} \frac{S_{kk} \dot{\epsilon}_{kk} - \frac{1}{2G} \frac{2}{3} \bar{\sigma} \frac{\partial Y}{\partial T} T + \frac{1}{E} \dot{\epsilon} S_{kk} \dot{\epsilon}_{kk}^e}{S} \quad \dots \dots (6) \end{aligned}$$

ここで；  $S = S_{kk} S_{kk} + \frac{1}{2G} \frac{4}{3} \bar{\sigma}^2 H$ ,  $\bar{\sigma} = \sqrt{3/2} \{ S_{ij} S_{ij} \}^{1/2}$ ,  $S_{ij}$ ：偏差応力  
 $\dot{\epsilon}_{ij}^e$ ：偏差歪増分、  $\dot{\epsilon}_{kk}^e$ ：弹性偏差歪増分、  $H$ ：加工硬化指數、  $Y$ ：降伏強さ

降伏条件としてはミーゼスの条件を用い、塑性から弾性への移行は  $\partial f / \partial S_{ij} + \partial f / \partial T \cdot T < 0$  によって判定した。ただし、 $f$ ：降伏曲面を表す関数

## 2.3 金属組織の変化と物性値の温度依存性

ほとんどすべての物理値が温度依存性を持つが、比熱、熱伝導率、そして降伏強さは、さらに、金属組織にも依存する。変態を生ずると著熱を発生し、体積変化を生じて温度変化や変位と応力に影響する。金属組織の変化については、2.1で求まる時間と温度の関係にCCD図を加えて求めた。温度依存性はデータとして投入する折線を内挿で求めた方法によった。

## 3. 数値計算例

要素分割の例を図1に示す。温度計算は4角形要素を用い、変形の計算は3角形要素を用いた。以下の計算例に共通するギガ-9要素1～図2～図4に示す。

以下に示す変形と焼入組織の図は円筒の中心軸から表面までの断面図である。変形については、各

者のため、一定の変形量を実験で示した。なお試験の意味は次の通り。

A: オーステナイト、F+P: フェライト・ペーライト、B: ベイナイト、M: マルテンサイト。

表1 数値計算のためのデータ  
(共通するもののみ)

鐵鋼種別	
フェライト	$12 \times 10^{-6}/\text{℃}$
オーステナイト	$16 \times 10^{-6}/\text{℃}$
亜鉄種類	
フェライト亜鉄	1.8 cal/g
ベイナイト亜鉄	1.9 cal/g
マルテンサイト亜鉄	2.0 cal/g
オーステナイト亜鉄膨脹	-0.001 cm/cm
ボアソン比	0.3

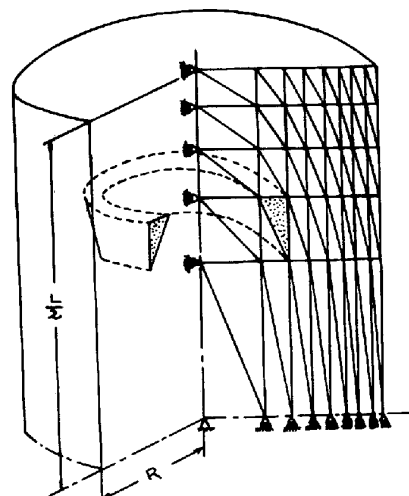


図1 要素分割の例

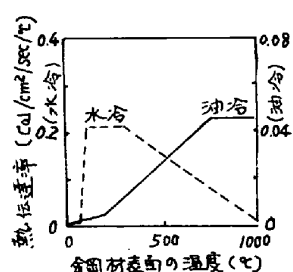


図2 熱伝導率

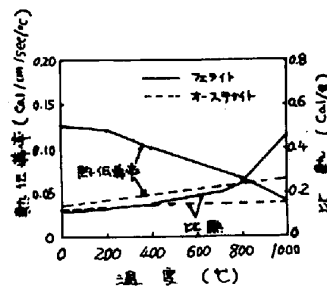


図3 比熱と熱伝導率

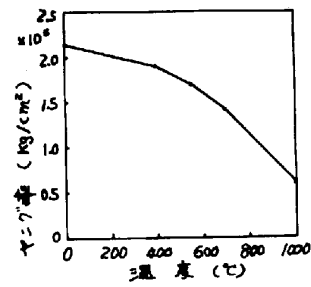


図4 ヤング率

例1. 热应力だけが働く場合の変形

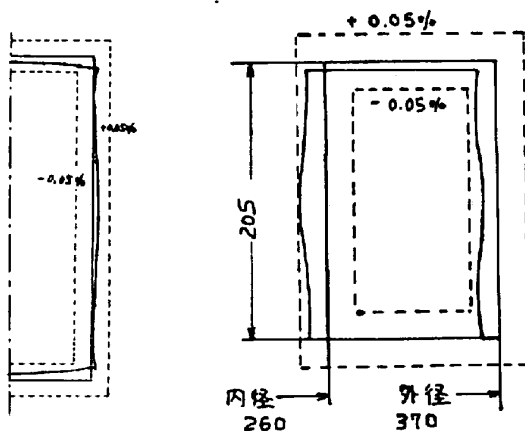


図5

中空内筒より650°C B5  
水冷した場合  
直径 90mm  
長さ 200mm  
降伏強度: 壊壊  $20.9 \text{ kg/mm}^2$   
 $800^\circ\text{C}$   $4.9 \text{ kg/mm}^2$

図6  
中空内筒より650°Cから水冷  
した場合  
寸法: 図参照  
降伏強度: 壊壊  $7.3 \text{ kg/mm}^2$   
 $800^\circ\text{C}$   $6.4 \text{ kg/mm}^2$

例2. マルテンサイト1相に焼入れたときの変形

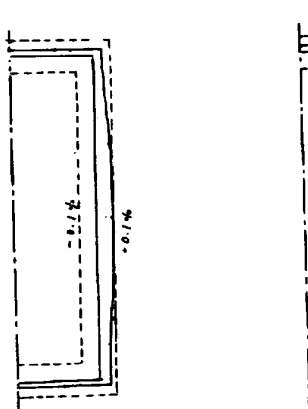


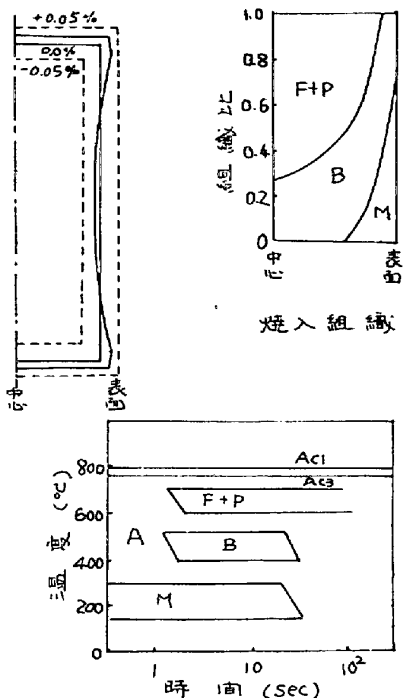
図7

中空内筒より850°Cから油冷  
した場合  
直径: 50mm, 長さ: 100mm  
 $M_S = 250^\circ\text{C}$ ,  $M_f = 100^\circ\text{C}$   
亜鉄膨脹量:  $4.0 \times 10^{-3}$

図8

中空内筒より850°Cから水冷  
した場合  
直径: 50mm, 長さ: 100mm  
 $M_S = 300^\circ\text{C}$ ,  $M_f = 150^\circ\text{C}$   
亜鉄膨脹量:  $3.8 \times 10^{-3}$

## 例3. 不完全焼入れしたときの変形



④9  
中炭鋼を 850°C から  
水冷した場合  
直径: 50mm  
長さ: 100mm  
変態膨張量

$$\begin{aligned} A \rightarrow F+P & 1.6 \times 10^{-3} \\ A \rightarrow B & 2.5 \times 10^{-3} \\ A \rightarrow M & 3.8 \times 10^{-3} \end{aligned}$$

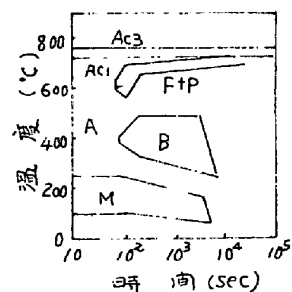
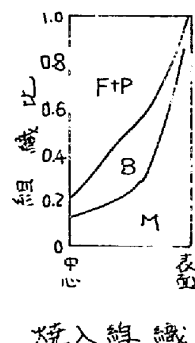
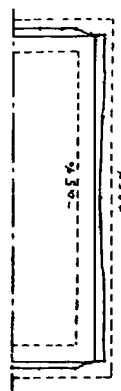
## 降伏率

歪	A	$10.1\%/\text{mm}^2$
F+P		20. "
B		35. "
M		50. "

800°C

すべての組織  $3\%/\text{mm}^2$ 

1000°C

すべての組織  $1\%/\text{mm}^2$ 

④10  
中炭鋼を 850°C から水冷した場合

直径: 400mm

長さ: 600mm

変態膨張量

$$\begin{aligned} A \rightarrow F+P & 1.4 \times 10^{-3} \\ A \rightarrow B & 2.4 \times 10^{-3} \\ A \rightarrow M & 4.0 \times 10^{-3} \end{aligned}$$

降伏率: ④9 図の場合と同じ

## 4. まとめ

鋼材の焼入変形には、冷却方法と端面の大きさから与えられる導入中の温度分布、焼入組織の種類とその分布、変態温度、そして鋼の高強度化率など大きく影響する。焼入変形を体系的に把握するためには、これらの影響因子について多くの数値計算を行ふ必要がある。ここに述べた少數の例からも知らねども、焼入れの際の変形は、大まかに分け、中央部が凸に反る太鼓形の変形と中央部が凹に反る鞍形の変形に分けられる。前者の変形には熱応力だけが働いた場合とマルテンサイト相に焼入れた場合が例し、後者の変形には不完全焼入れの場合が該する。不完全焼入れでも、焼入組織がフェライト・パラライトだけのようになると、再び太鼓形に近づくものと予想される。

## 5. 参考文献

- 1) M. Marchal, Computation of heat conduction processes by electronic computers, Sulzer Technical Review, 3 (1964), P155
- 2) O.C. Zienkiewicz, The Finite Element Method in Engineering Science (1971) McGraw-Hill, London
- 3) 鹿田, 黒木, 热弹性塑性問題に関する研究(第1回), 日本造船学会論文集 130(1971)12, P183